

CORTE GEOFISICO CON SONDEOS ELECTRICOS  
ENTRE LA MAGNOLIA Y PASO DE LAS PIEDRAS  
(TACUAREMBO)

Por  
Hugo Cicalese

Informe de Geofísica  
Nº 13

Noviembre 83

## 1. INTRODUCCION

En el marco del Programa de Prospección de Uranio, el equipo de geofísica de la DINAMIGE ha realizado el estudio de la profundidad del zócalo mediante sondeos eléctricos verticales (SEV) entre La Magnolia y Paso de las Piedras (Río Negro).

### 1.1. Localización geográfica

El corte está ubicado en el departamento de Tacuarembó y atraviesa la ruta 26 a la altura del km 320 (al Este de Ansina).

Se tomaron como base las hojas cartográficas Cuaró y Santa Clara (escala 1/200.000). Ver figuras 1,2,3 y 4.

### 1.2. Marco geológico

En el extremo Norte del corte, este atraviesa sedimentos de la Formación San Gregorio-Tres Islas, de edad Permo-Carbonífera. La zona central está cubierta por sedimentos Pérmicos (Form. Fraile Muerto, Mangrullo y Pº Aguiar) con importantes manifestaciones básicas en forma de diques y diques y diques capa (sills). En el extremo Sur de la zona cortada, vuelven a aparecer sedimentos Permo-Carboníferos en las proximidades del Río Negro (S. González). Estos sedimentos tienen resistividades bajas (6 m a 30 m), pudiendo llegar el S.G-T.I a valores más altos (150 m y más aún) que a veces conduce a interpretarlo como zócalo. El zócalo cristalino es de resistividad alta; en la interpretación se considera infinito ( ).

### 1.3. La intervención geofísica

La anomalía gravimétrica positiva sobre la ruta 25, km 325 (carta gravimétrica ANCAP año 1955, ver fig. 5), y la perforación Nº 21 de ANCAP, hicieron pensar en un posible levantamiento del zócalo y condujo al estudio detallado de la zona La Magnolia-R 26. En una segunda etapa se continuó hasta el Río Negro (Caraguatá)

## 2. TRABAJOS REALIZADOS

La misión se llevó a cabo en dos partes.

La primera salida fue del 8.12.82 al 17.12.82, realizándose 20 SEV (AB/2 máx. = 500 m) (ver plano de implantación fig. 3 y 4).

El equipo estuvo integrado por:

- José Perrin: Jefe de Misión
- Hugo Cicalese: Técnico
- Ramón Rodríguez: Ayudante
- Felipe Pereira: Chofer

La segunda salida se llevó a cabo entre el 11.4.83 al 23.4.83, realizándose 25 SEV (AB/2 máx. = 500 m).

El equipo estuvo integrado por:

- Hugo Cicalese Técnico
- Ramón Rodríguez Ayudante
- Artigas Delgado Chofer

## 3. MATERIAL EMPLEADO

Se empleó el resistivímetro SYSCAL-R alimentado por hasta 6 pilas de 90 V, 2 bobinas de 500 m para el circuito de emisión, 2 bobinas de 100 m para el circuito de recepción y electrodos metálicos de 1 m de largo.

## 4. METODO EMPLEADO

Los SEV fueron realizados según el dispositivo Schlumberger (cuadrípulo simétrico) respetando la relación AB 10 MN. Para la interpretación se utilizaron las curvas de 3 capas del BRGM.

5. PERFORACION Nº 21 DE ANCAP

Parte del estudio se basó en la perforación Nº 21.

POZO: 21

Profundidad total: 68.97 mts

- |               |  |
|---------------|--|
| 0.00 - 3.76   | Suelo y horizonte de transición a la roca.   |
| 3.76 - 5.34   | Limolites de color blanco amarillento, micáceas con seudoestratificación paralela.   |
| 5.34 - 5.92   | Idem. anterior, pero con estratificación ondulante a oblicua, color pardo amarillento.   |
| 5.92 - 9.24   | Limolites de color blanco amarillento que pasan colores pardo a pardo grisáceos y gris claro; los cambios de colores son casi netos. Presente microestratificación ondulante en los tonos claros y tendencia a masivo en los grises. |
| 9.24 - 12.67  | Limolita gris poco o nada estratificada, con intercalaciones lutíticas y de areniscas de regular selección con cantos dispersos de hasta dos milímetros de color gris claro.   |
| 12.67 - 14.17 | Niveles intercalados de areniscas muy finas y lodolitas con cantos dispersos. Todo el perfil de color gris claro.  |
| 14.17 - 15.67 | Areniscas finas de regular selección con cantos dispersos que pasa a limolita con estratificación paralela a masivo, todo el perfil de color gris claro.   |
| 15.67 - 17.32 | Limolitas gris claro, con estratificación por color más oscuro, algo micácea de muy buena selección.   |
| 17.32 - 18.82 | Limolitas de grano muy fino a lutitas de color gris claro a gris oscuro, en la base con estratificación paralela.  |
| 18.82 - 20.02 | Limolitas de grano muy fino, con estratificación paralela a masiva, color gris claro. Pasan a lutite de color gris claro a blanco grisáceo.  |
| 20.02 - 23.32 | Idem anterior, pero algo más oscuras.  |

- 23.32 - 24.71 Limolitas en la parte superior y pasaje gradual a areniscas de regular a mala selección con cantos dispersos de hasta 0,5 cm cuya composición mineralógica predominante es cuarzo; masivas a algo estratificadas, color gris claro.
- 24.71 - 27.86 Areniscas de mala selección, gravilosas a conglomerádicas, con cantos angulosos a subangulosos graníticos y de cuarzo; cemento arcilloso; masivas, color gris claro. Hacia la base pasan a lodolitas con cantos dispersos.
- 27.86 - 30.20 El perfil evoluciona a sedimentos finos. Pasa a lodolitas, luego a limolitas medias y finas, masivas a algo estratificadas, color gris.
- 30.20 - 33.09 Limolitas de mala selección que pasan a areniscas intercaladas de color gris claro y gris oscuro; masivas y estratificadas ondulante y entrecruzadas.
- 33.09 - 36.14 Limolitas con estratificación ondulante por color que pasan en borde más o menos netos a areniscas groseras de mala selección, cuarzo feldespáticas, masivas o pseudoestratificadas, color blanco grisáceo que evolucionan a areniscas muy finas bien seleccionadas.
- 36.14 - 37.74 Limolitas grises con intercalaciones de lutitas masivas, hacia la base aparecen niveles de areniscas finas muy cuarzosas, de color gris claro a blanco grisáceo.
- 37.74 - 40.47 Predominio de lutitas sobre limolitas muy arcillosas interestratificadas, color gris, masivas; contienen pirita distribuida al azar.
- 40.47 - 43.54 Lodolita de mala selección con cantos dispersos de hasta 1 cm de color gris oscuro.
- 43.54 - 46.59 Sigue la misma litología, pasando hacia la base a limolitas de buena selección de color gris claro con pseudoestratificación ondulante.
- 46.59 - 49.64 Limolitas arcillosas de grano muy fino con estratificación ondulante que hacia la parte media e inferior se hace más acentuada.
- 49.64 - 52.69 Siguen limolitas de grano fino con estratificación entrecruzada y ondulante, por color, en general gris claro.

- 52.69 - 55.64 Limolitas con fina estratificación laminar de grano muy fino color gris claro a gris oscuro con presencia de  $CO_3Ca$  en los niveles claros.
- 55.64 - 57.74 Sigue limolitas y lutitas intercaladas de grano fino de color gris oscuro, con algunos niveles carbonato de calcio, con estratificación paralela.
- 57.74 - 60.21 Sigue la misma litología, pero el perfil evoluciona a lutitas de color gris oscuro, masivas, con escasísimos lechos de calcáreo y cierta estratificación paralela en la base.
- 60.21 - 63.26 Lutitas que pasan a limolitas de color gris oscuro a veces estratificadas. Se aprecian cantos dispersos de hasta un centímetro de diámetro. Estratificación laminar paralela y subparalela.
- 63.26 - 63.66 Idem anterior pero con estratificación ondulante.
- 63.66 - 65.71 Lodolitas negras a gris oscuro con cantos dispersos.
- 65.71 - 68.97 Lutitas limolíticas de color gris oscuro, masivas y pseudoestratificadas. Estos niveles pasan a litologías groseras. Areniscas finas y medias con mala selección, a veces de aspecto tilloide, cuarzo-feldespáticas, color gris claro.  
En la base de los últimos 30 cm: granito rosado de grano medio a hornblenda, muy homogéneo.  
Fin del perfil.

## 6. ESTUDIO DE LOS RESULTADOS

La observación de la curva del SEV 1, realizado junto a la P 21, hace dudar de que la perforación haya llegado al cristalino.

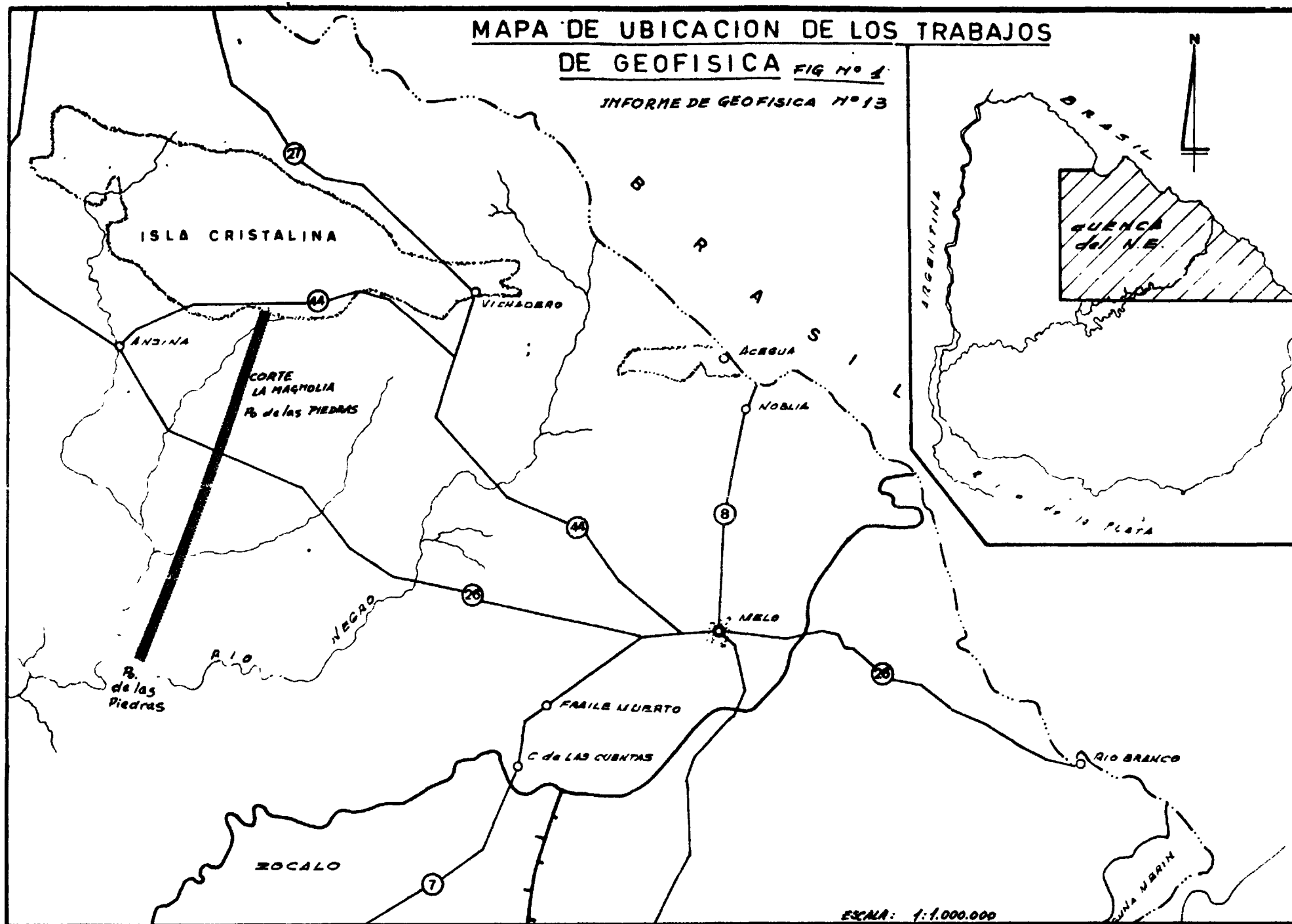
Para los primeros 20 SEV quedan planteados los datos para la realización de cortes interpretativos sobre la anomalía gravimétrica y posterior reinterpretación de los resultados.

Los sondeos de la 2a. parte presentan el inconveniente de los diques de basalto.

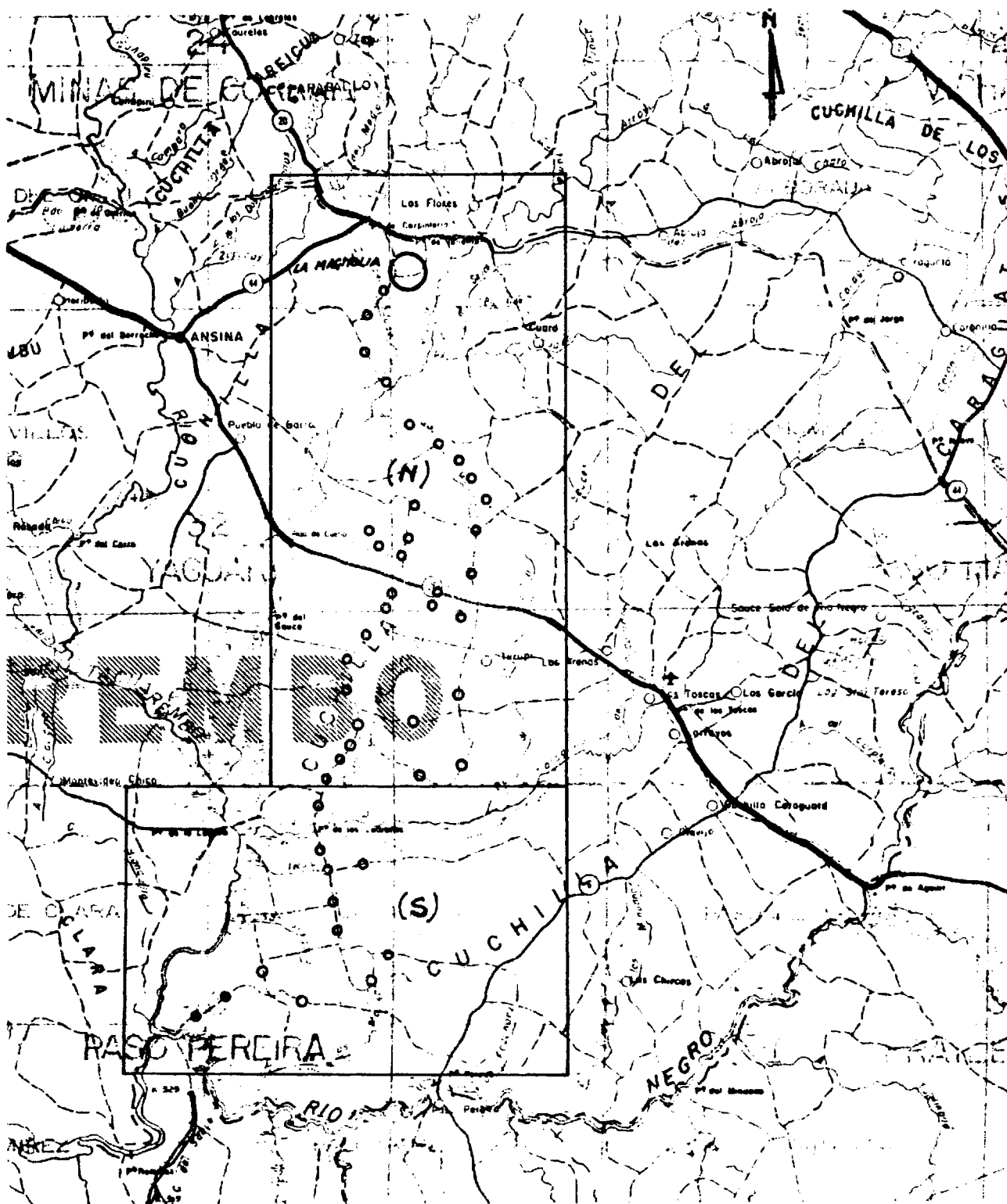
Sería conveniente realizar algún sondeo de línea más larga para confirmar el haber alcanzado el zócalo y disponer de un reconocimiento geológico más detallado de la zona para evitar los diques de basalto. Por este inconveniente, este estudio no continuó hacia el Sur.

**MAPA DE UBICACION DE LOS TRABAJOS  
DE GEOFISICA** *FIG N° 1*

*INFORME DE GEOFISICA N° 13*







ESQUEMA DE LOS PLANOS DE UBICACION DE SEV  
BASE CARTA GEOGRAFICA DEL URUGUAY 1:600.000

FIGURA 2

INFORME de GEOFISICA N° 13

FIGURA 3



PLANO DE  
UBICACION DE SEV  
(H)

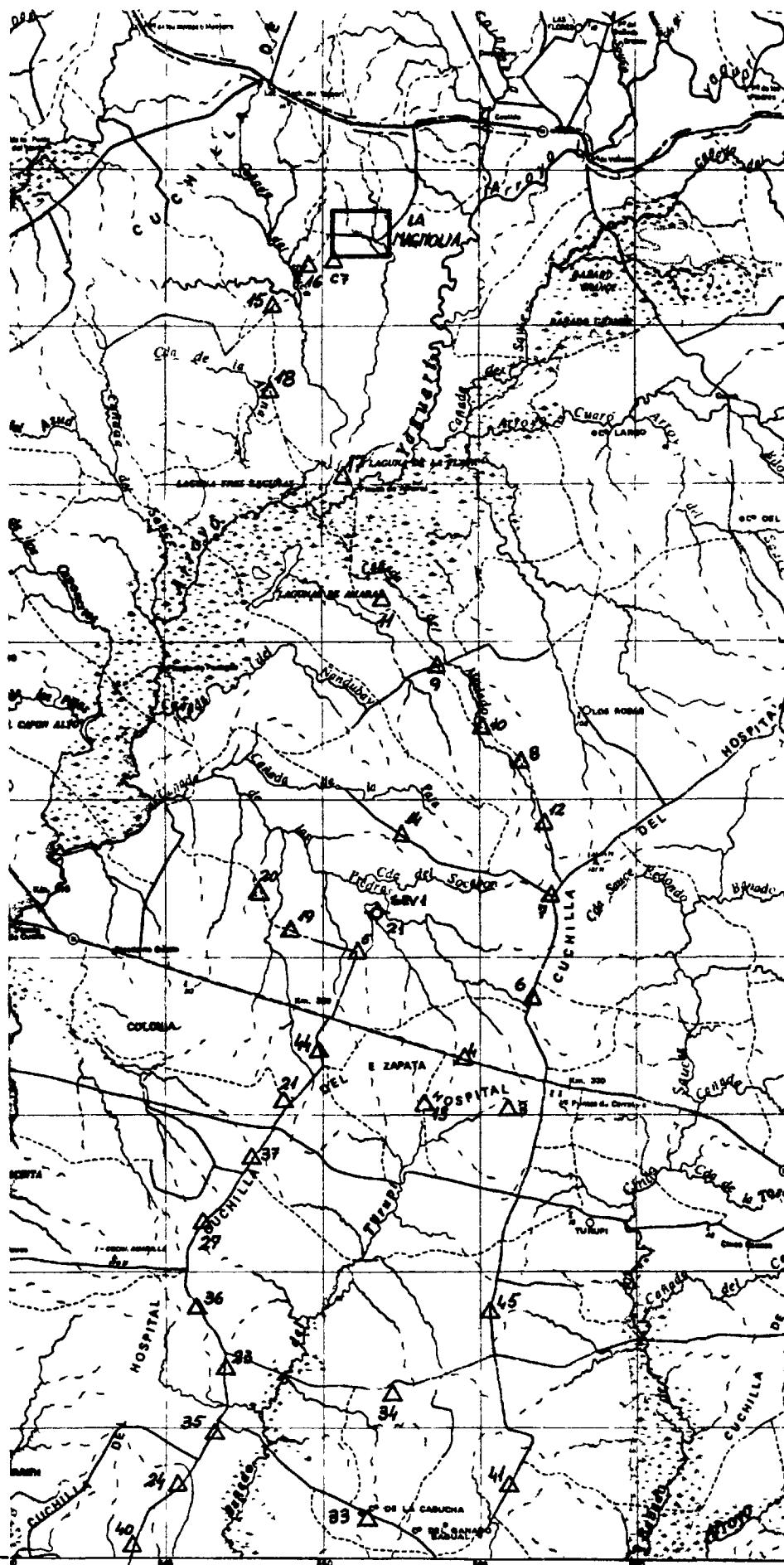
Base:  
HOJA CARTOGRAFICA  
CUARO 1:200.000

INFORME DE  
GEOFISICA N° 13

14 Δ SEV

21 Δ PERFORACION

K 11.83



6.480

6.440



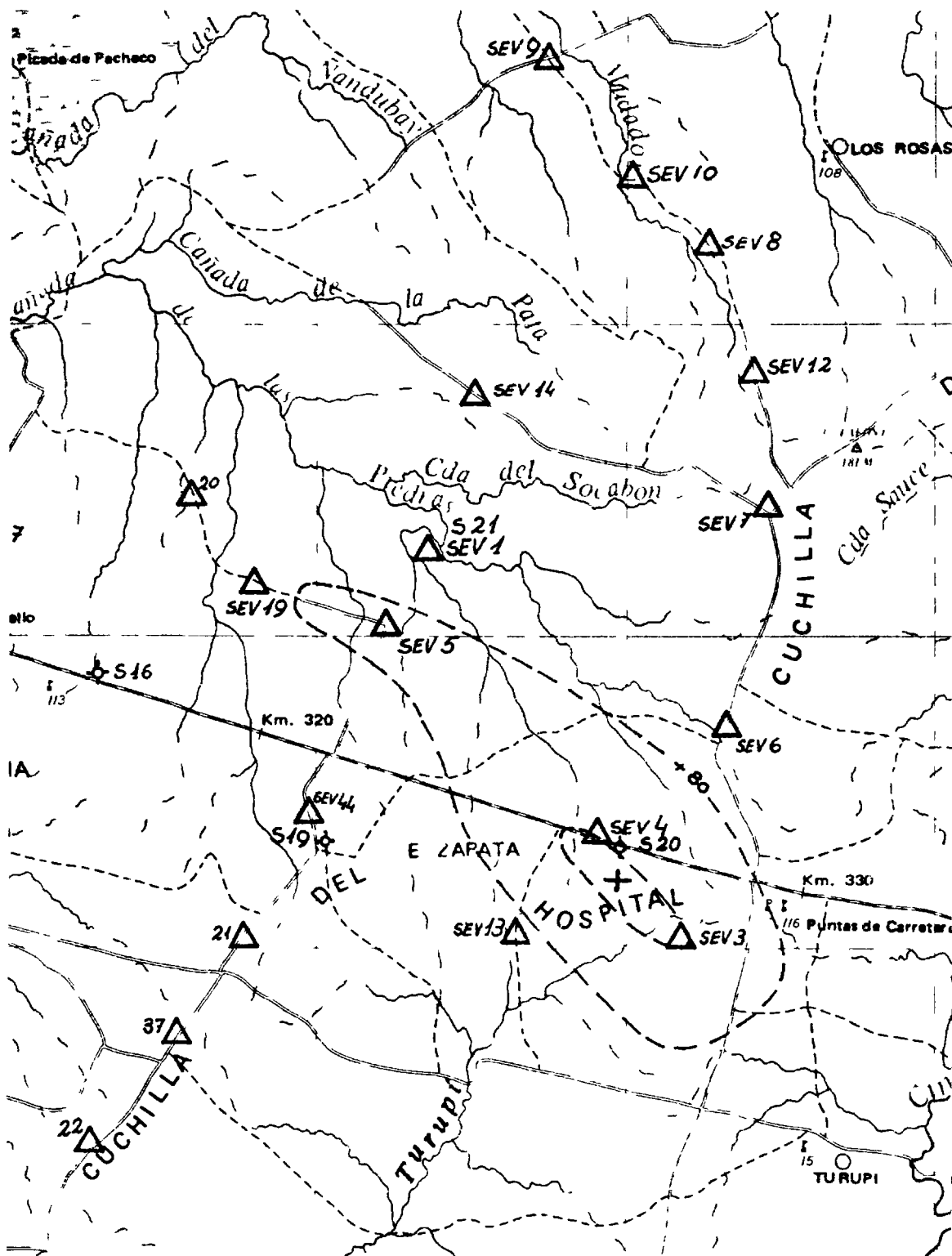


FIGURA 5

# ANOMALIA GRAVIMETRICA POSITIVA

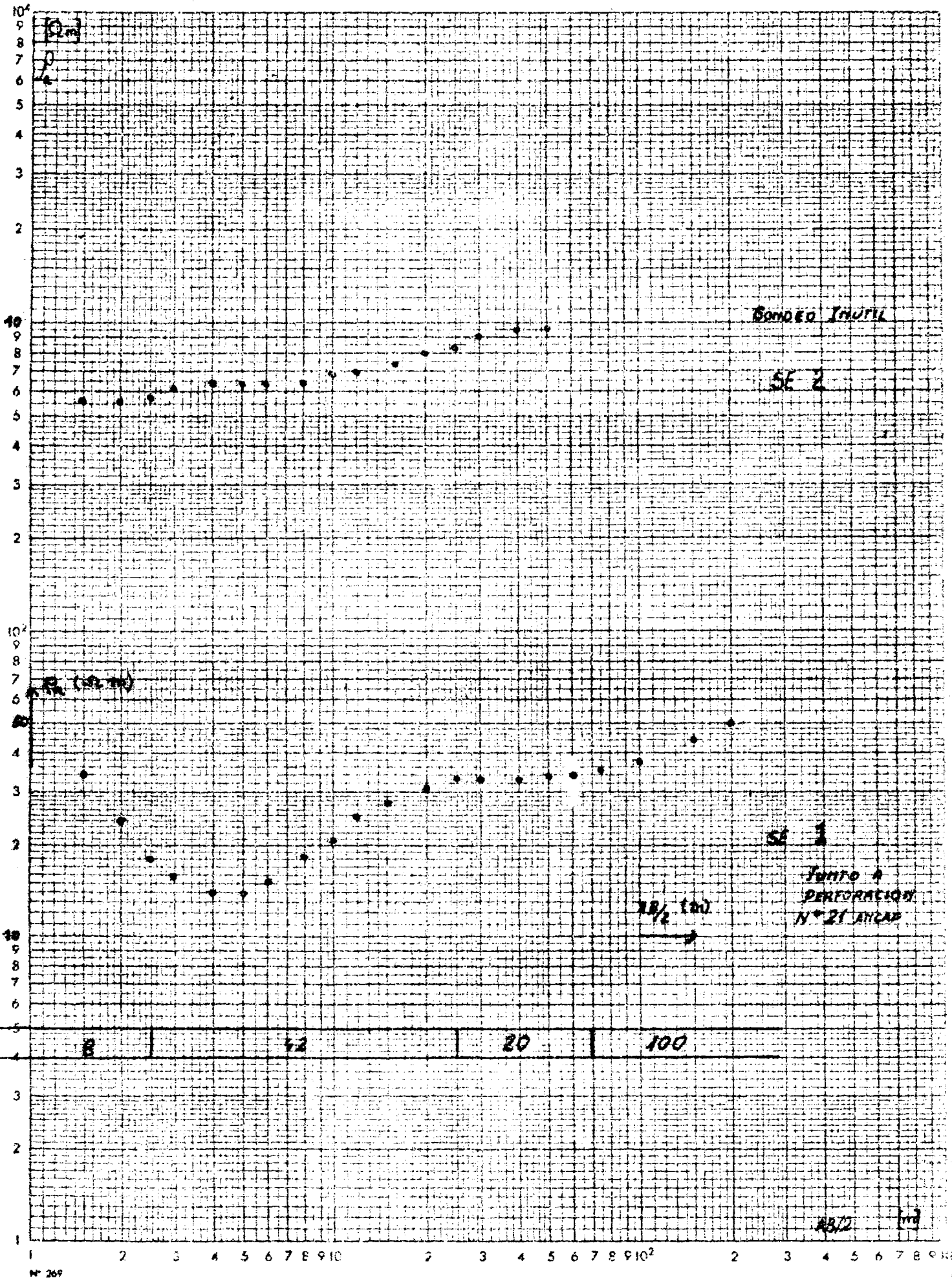
Base HOJA CARTOGRAFICA YAQUARI

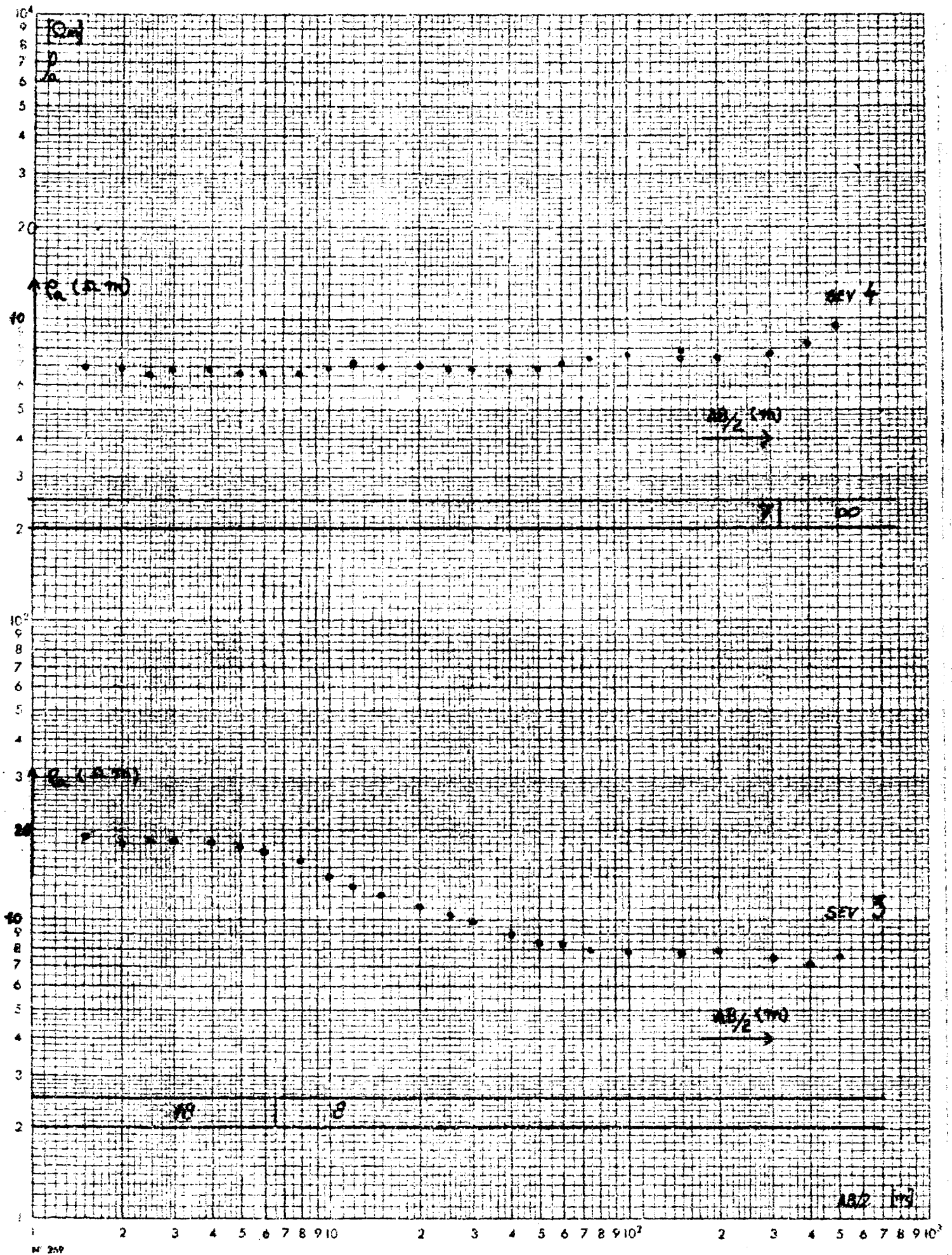
Escala 1:100 000

INFORME DE GEOFISICA N° 43

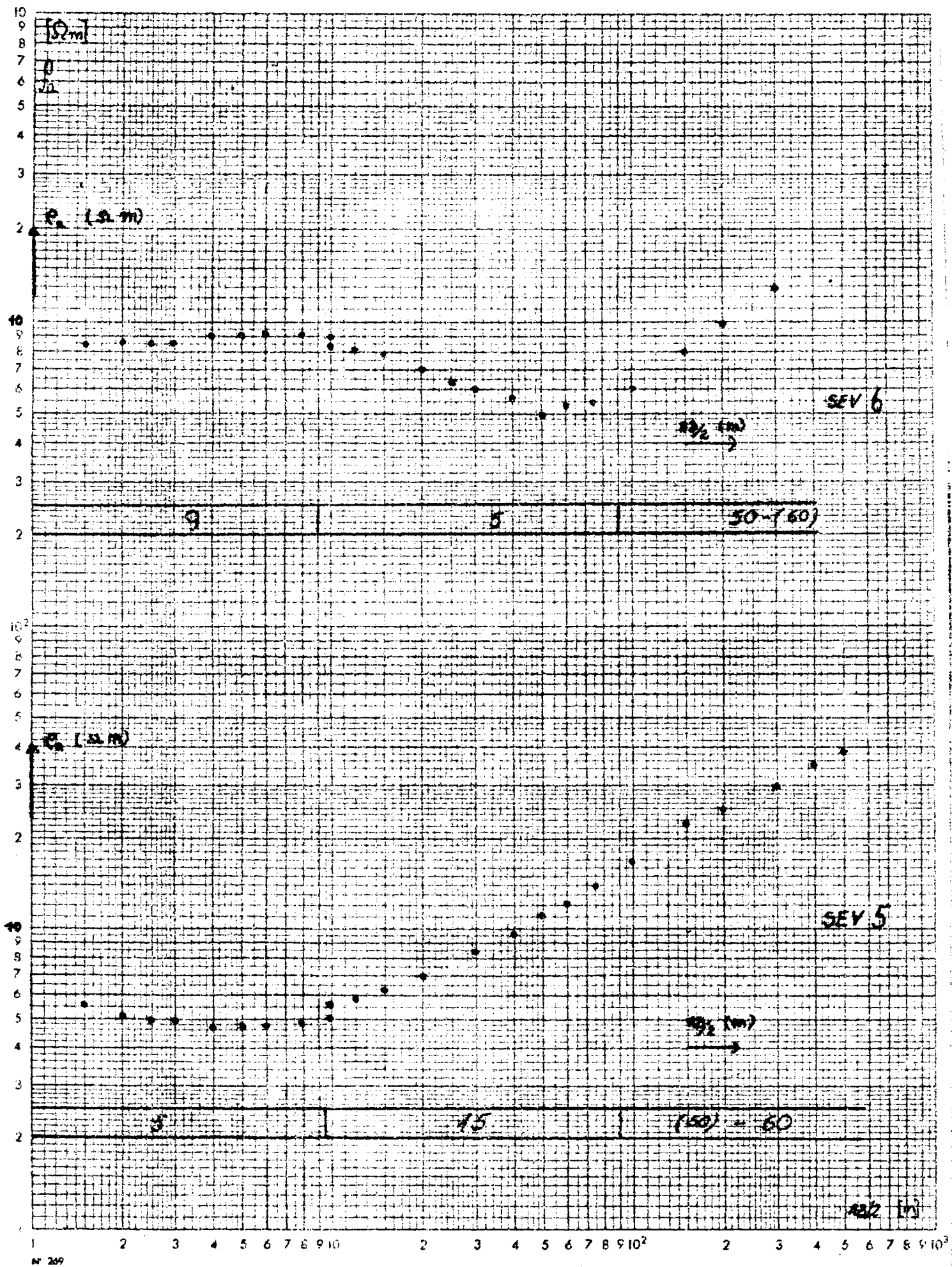
--- LINEA ISOGALA

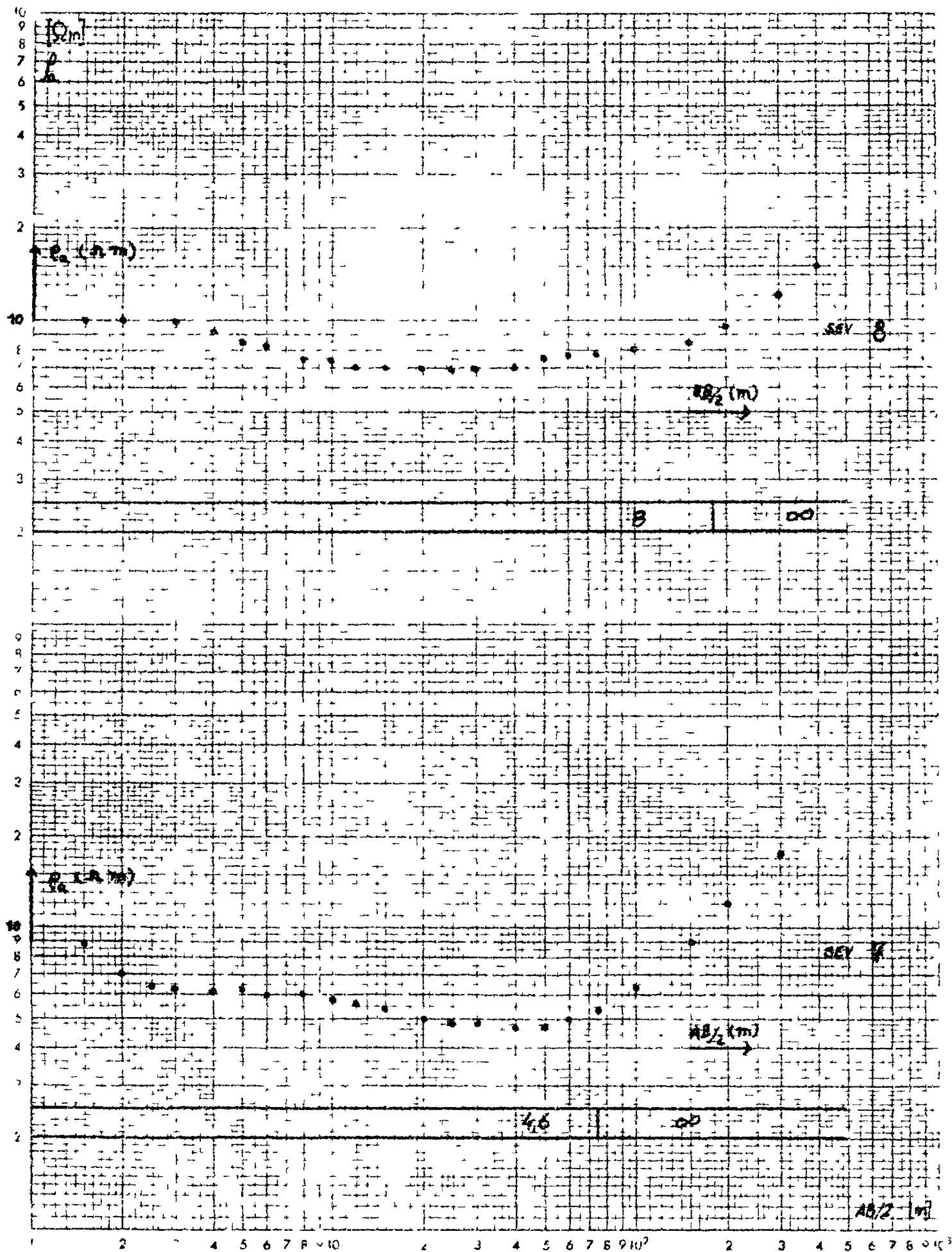
Δ SEV



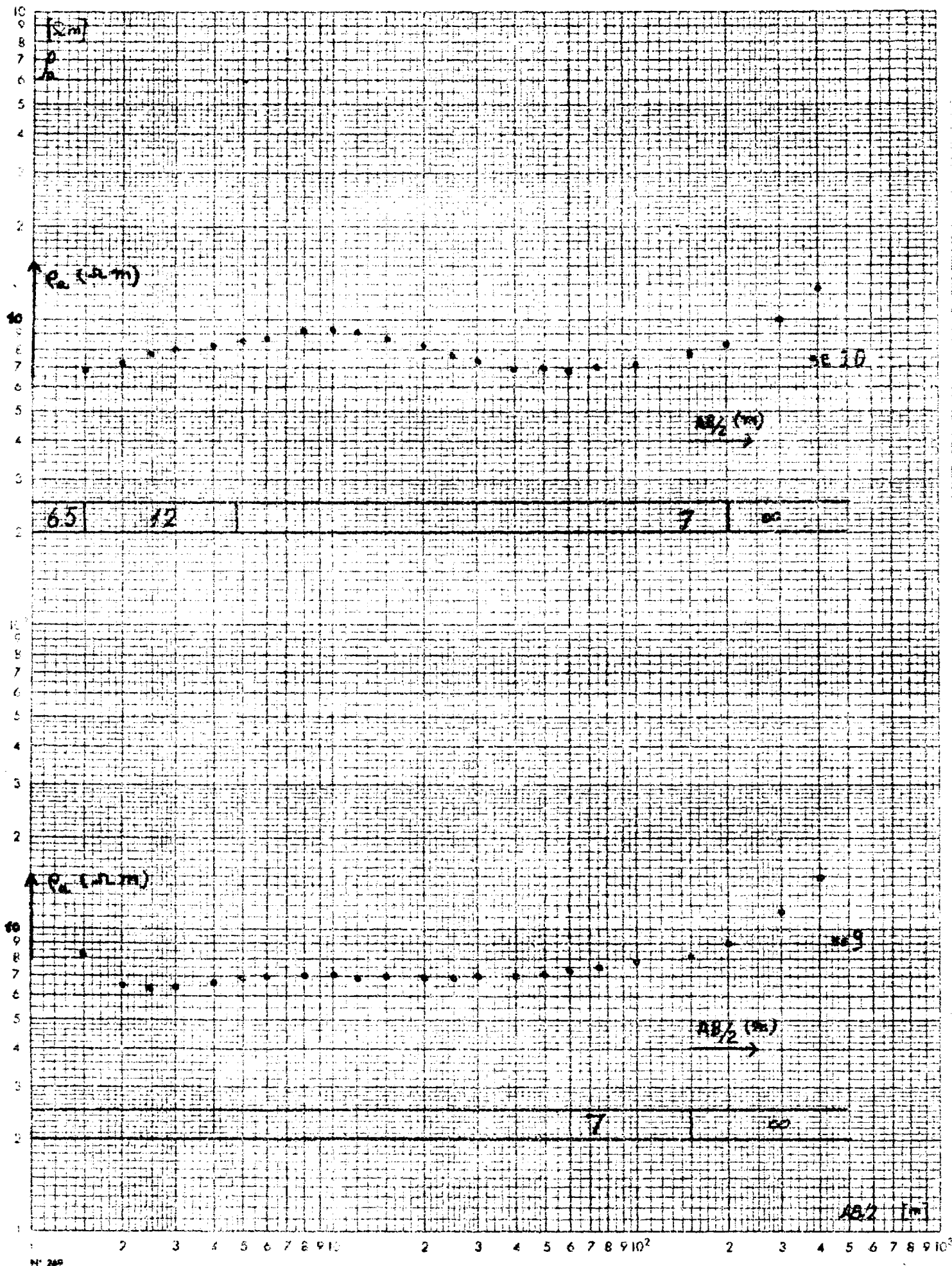


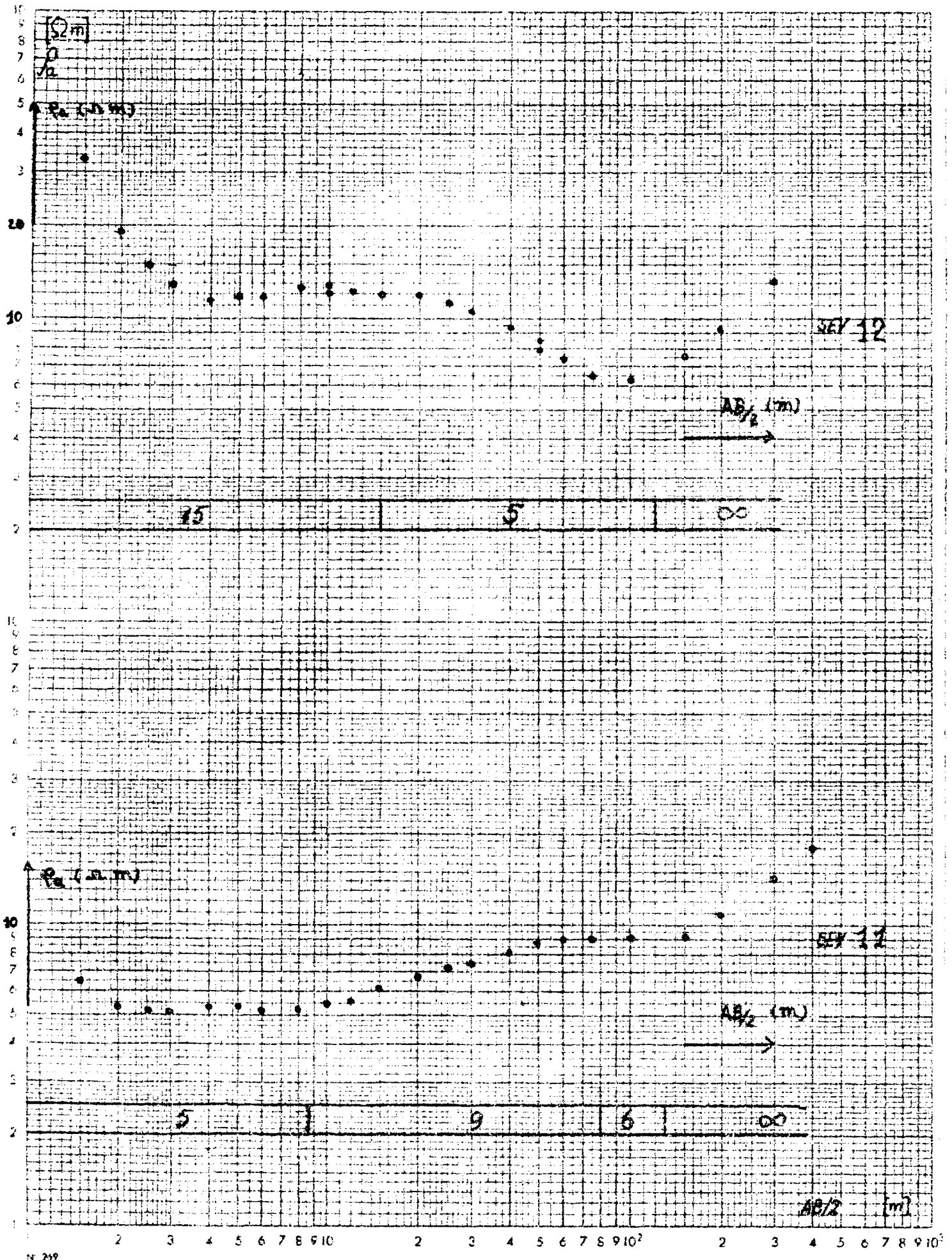


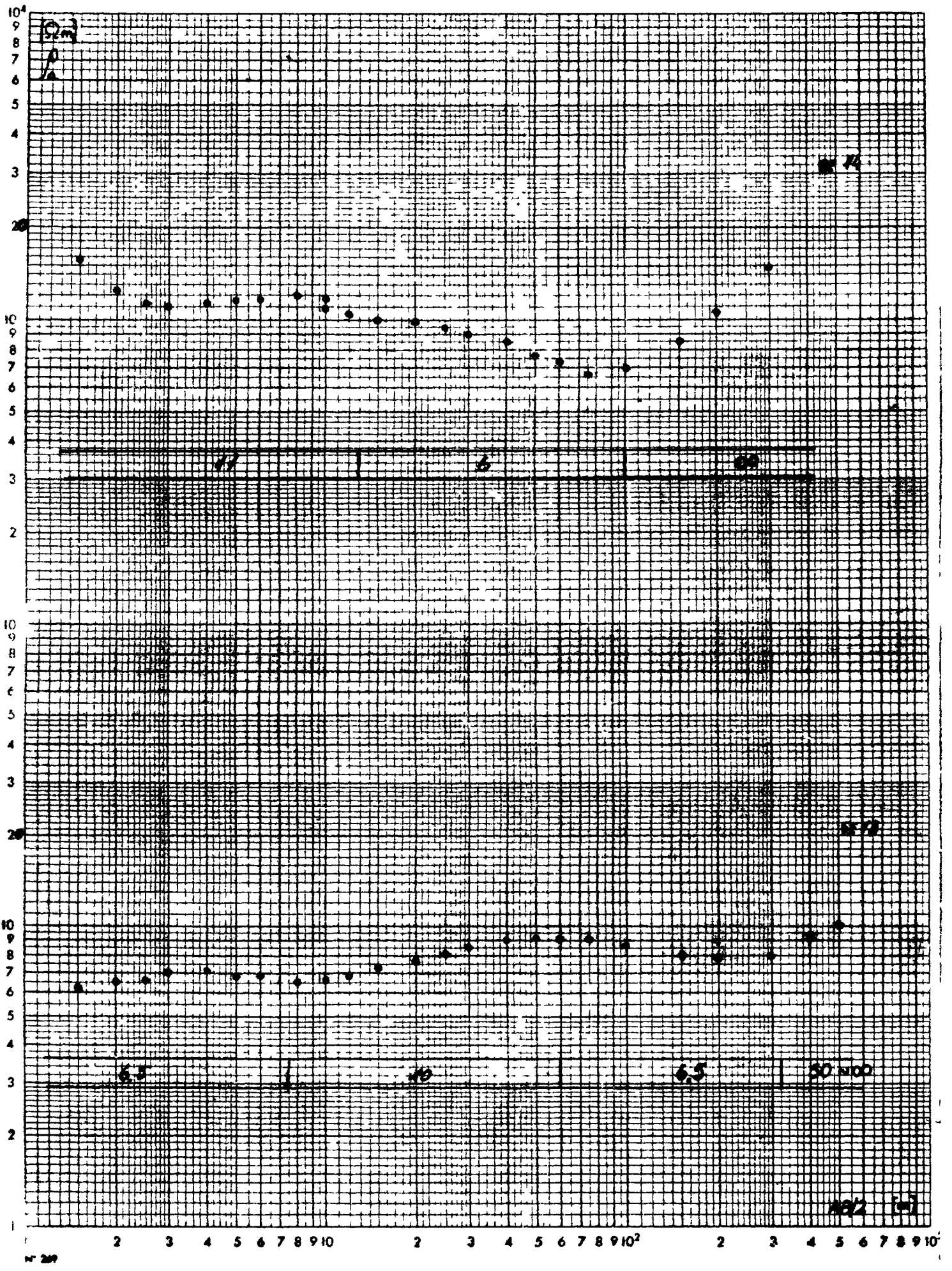


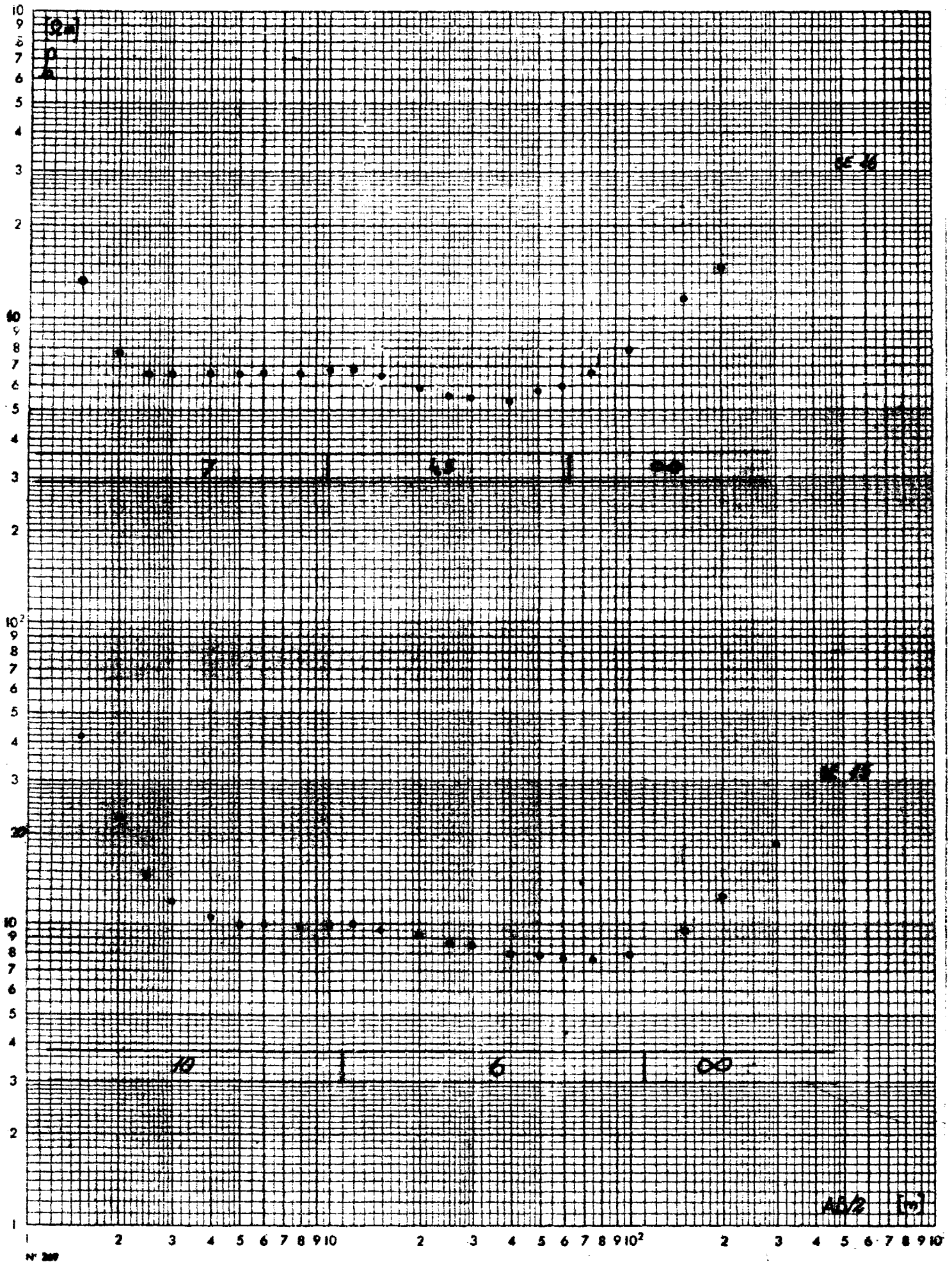




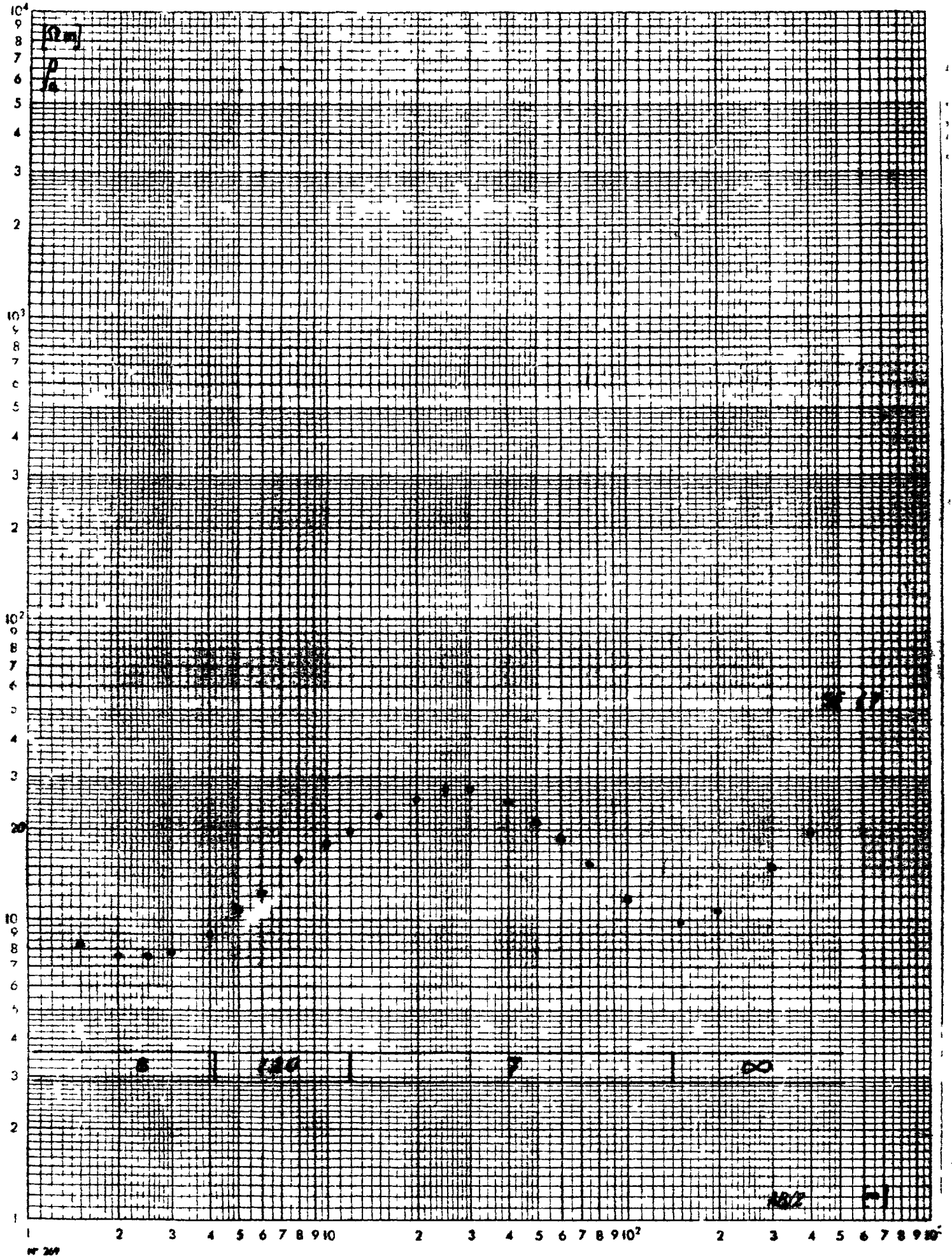


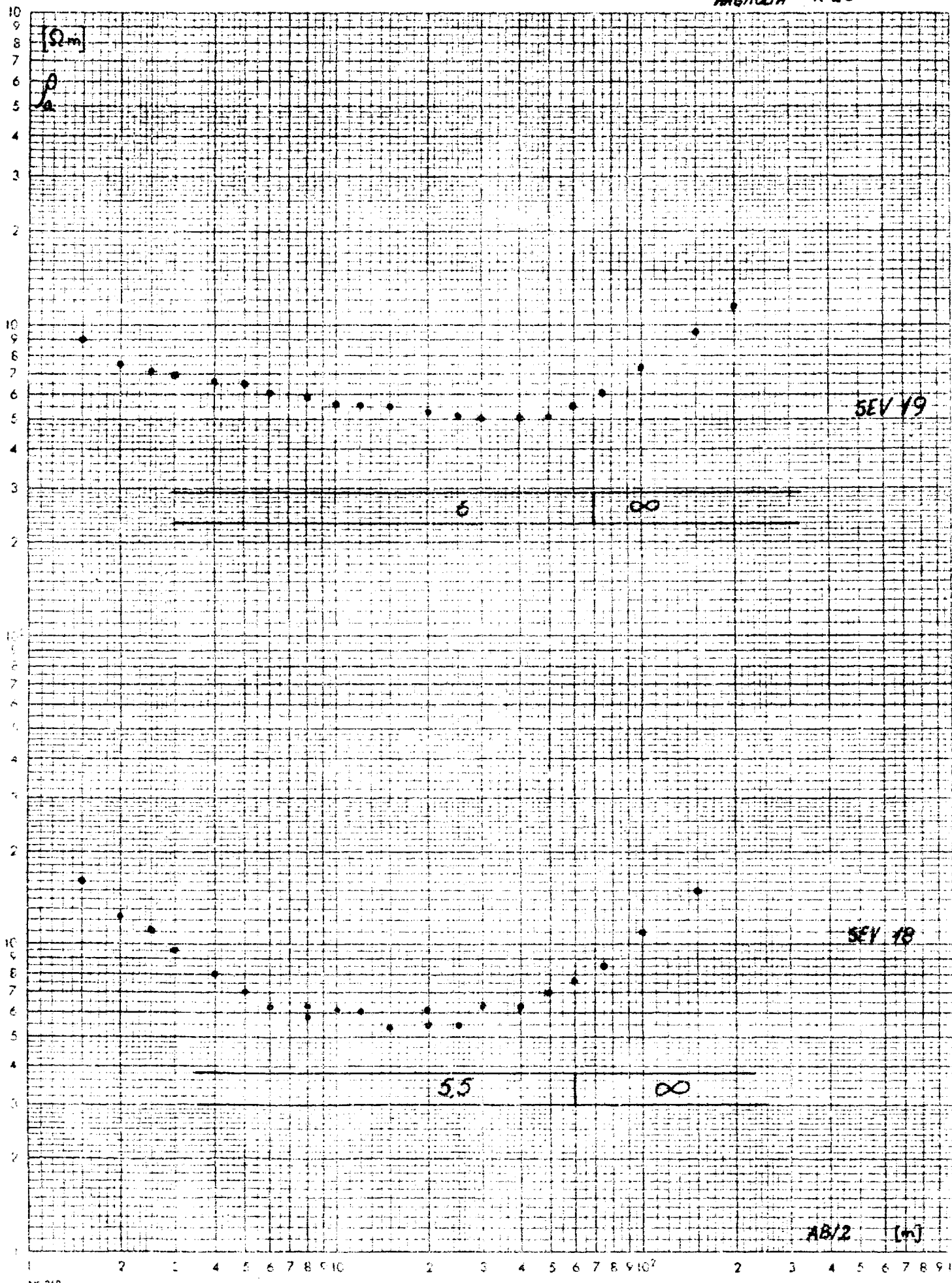




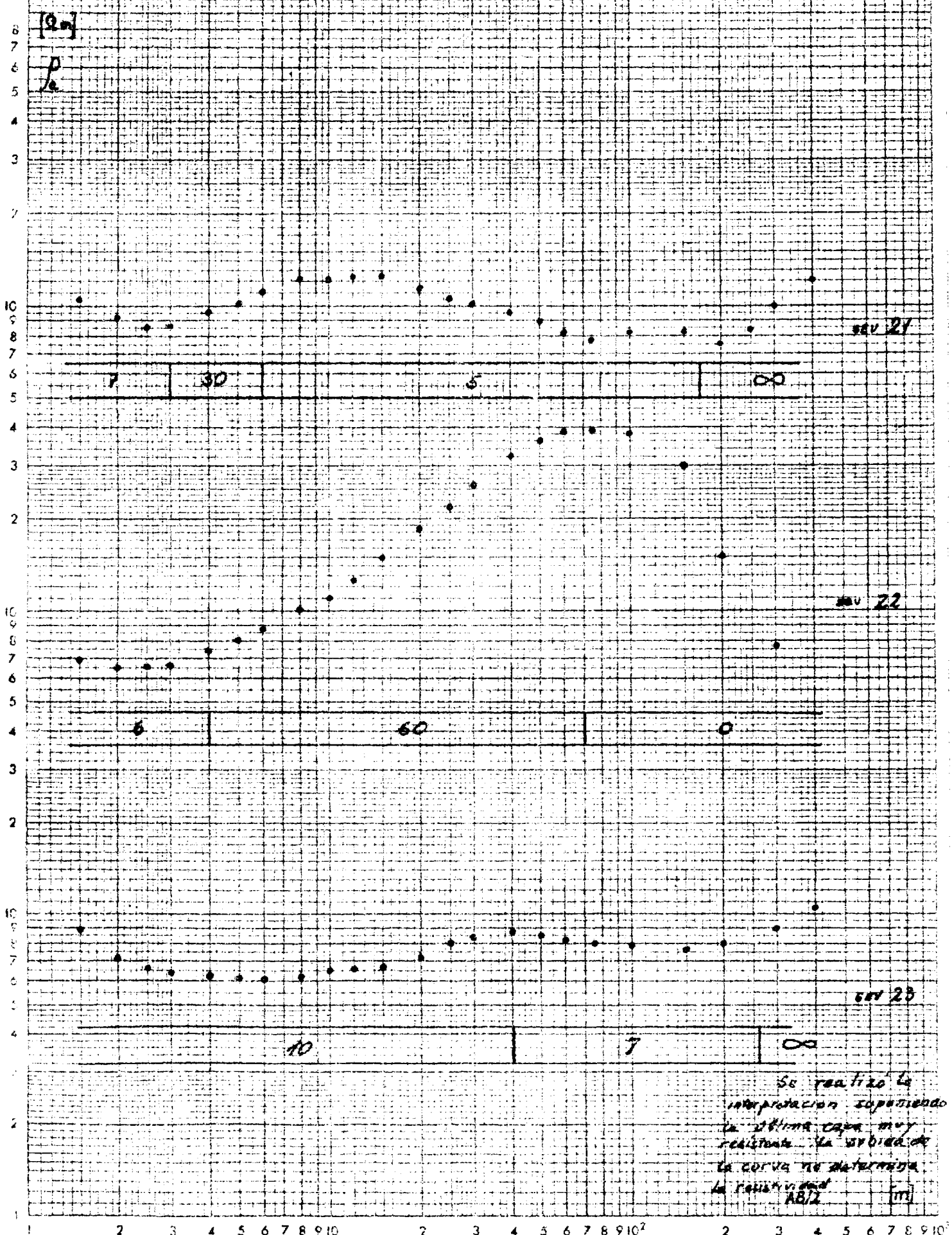




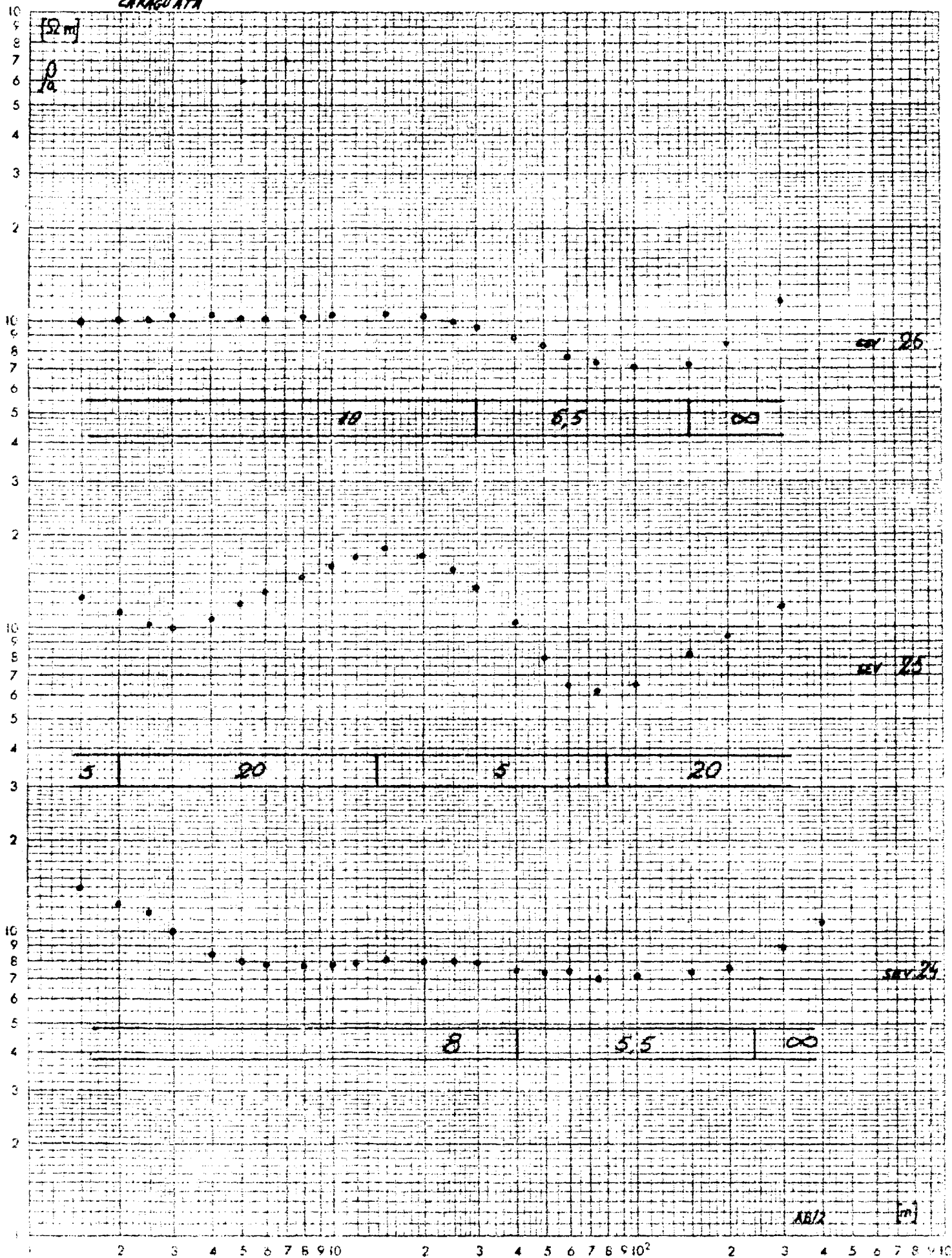




# CARAGUATA

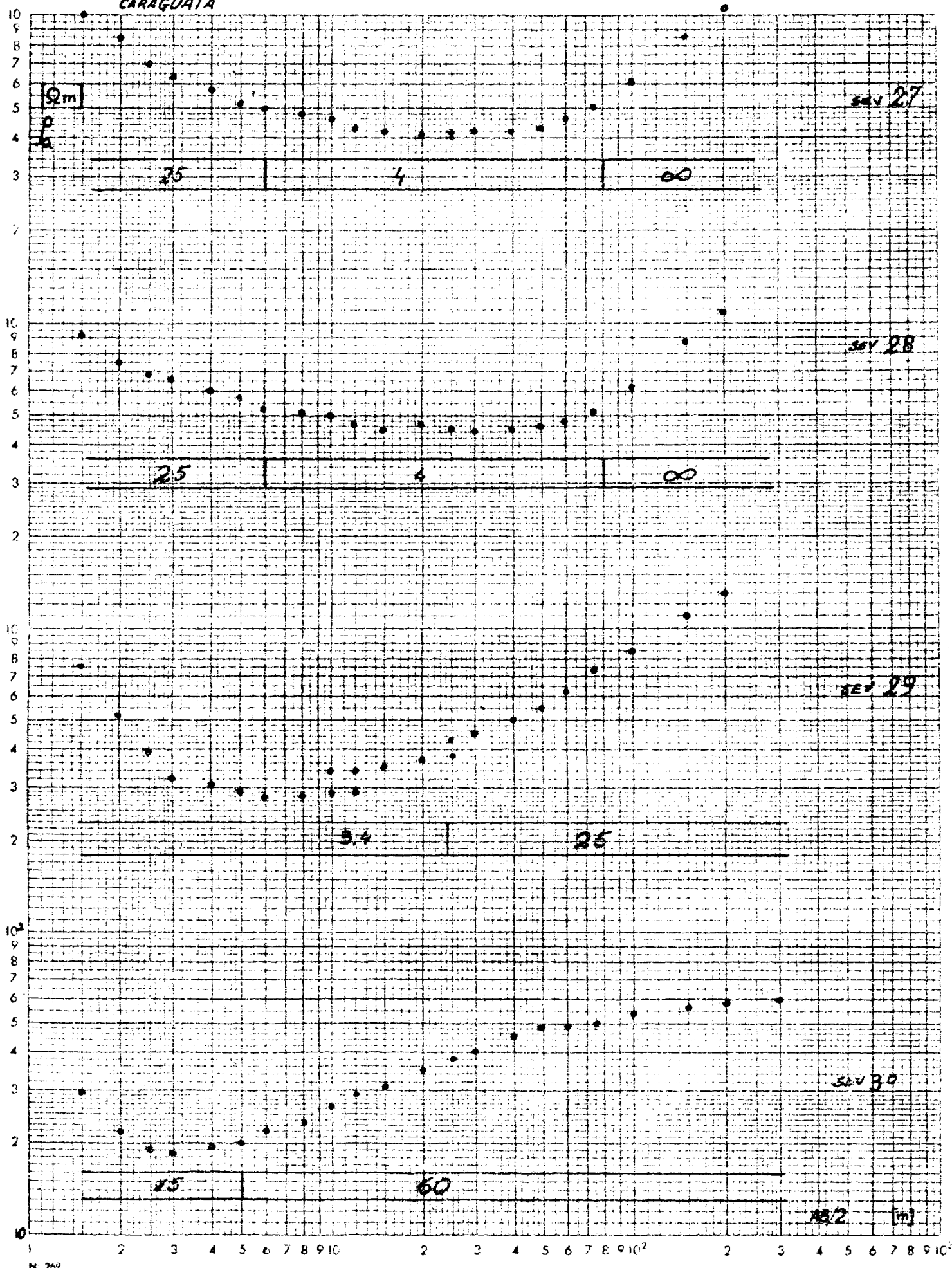


CARAGUATA

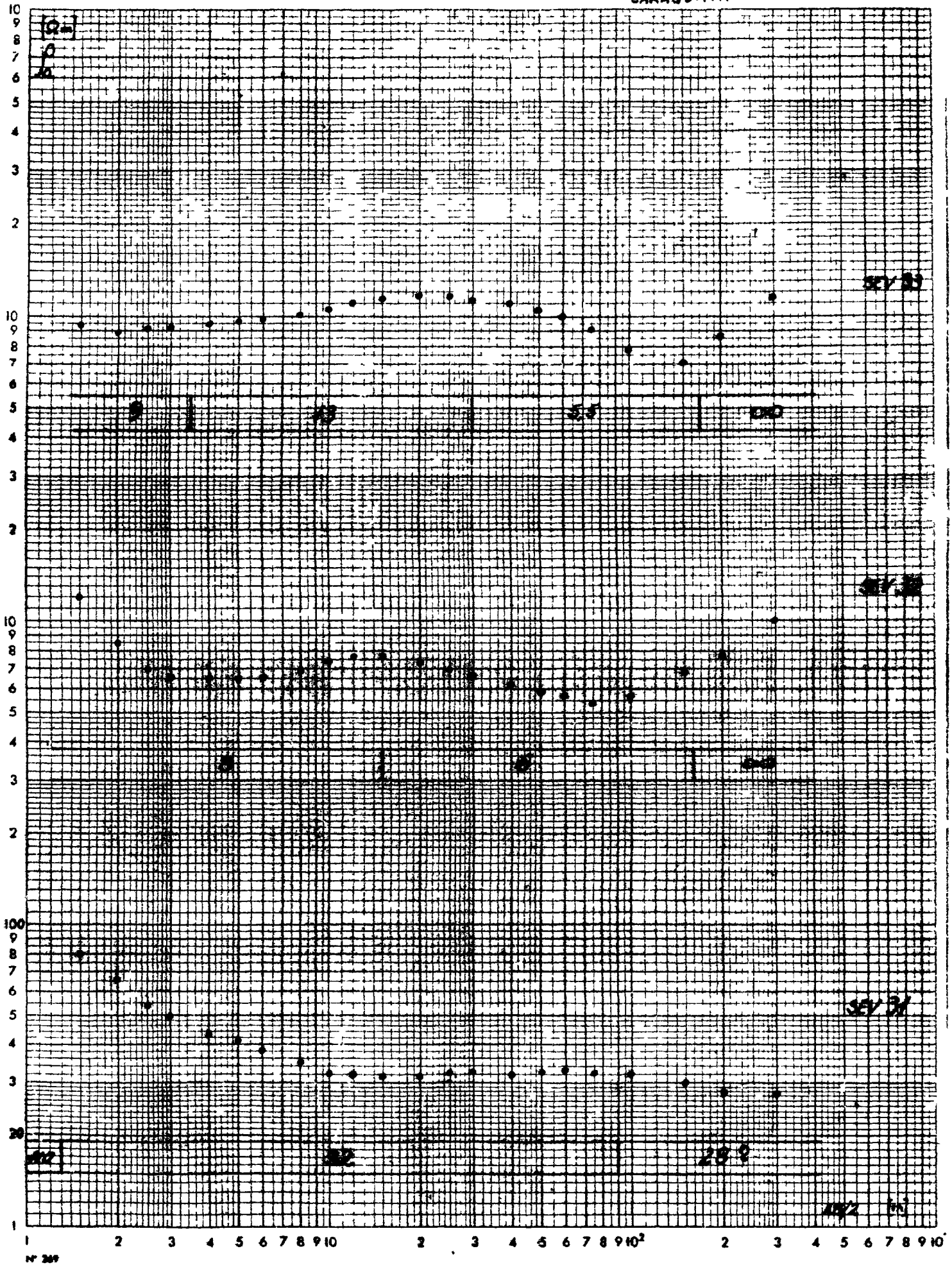


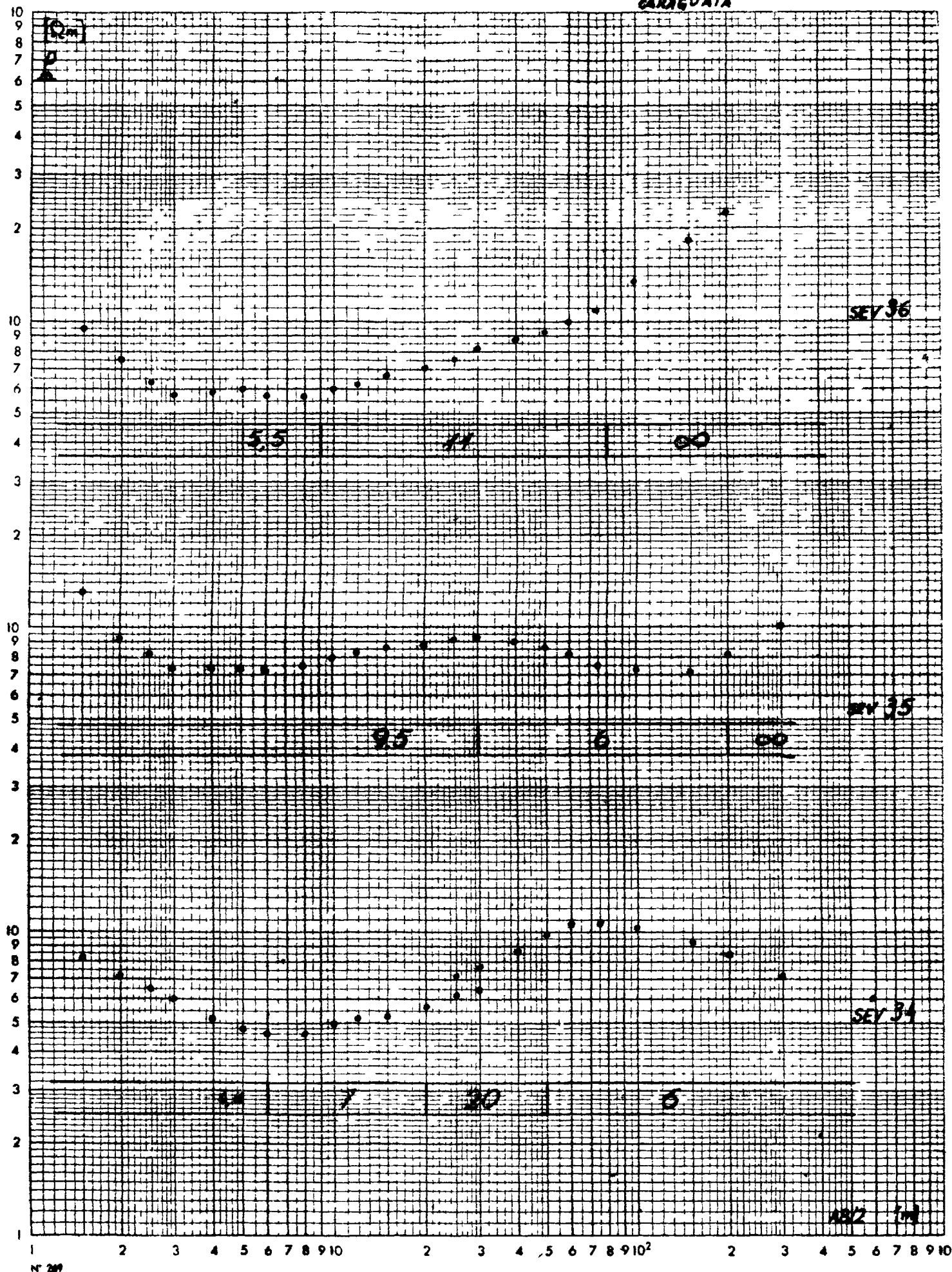


# CARAGUATA

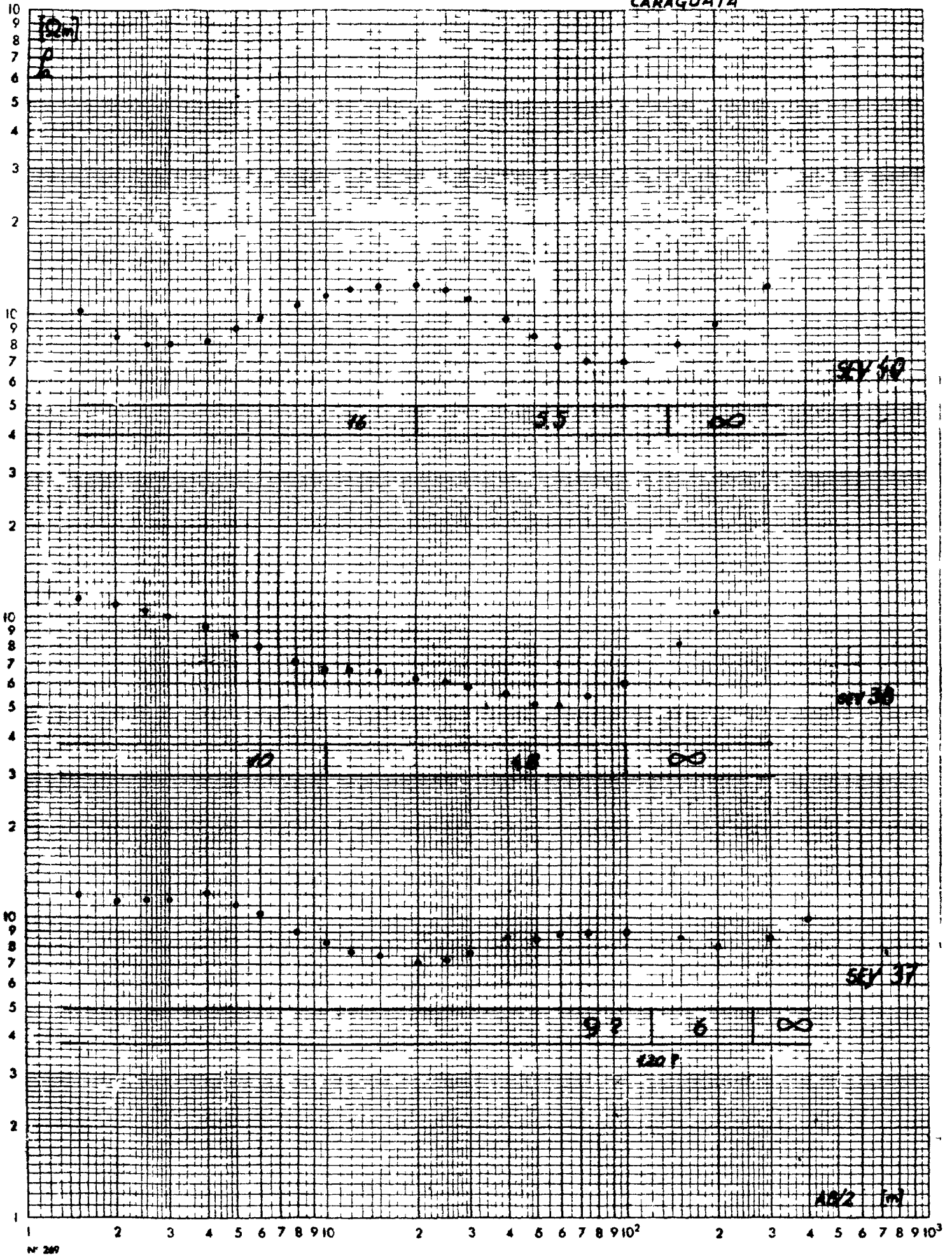


# CARAGUATA



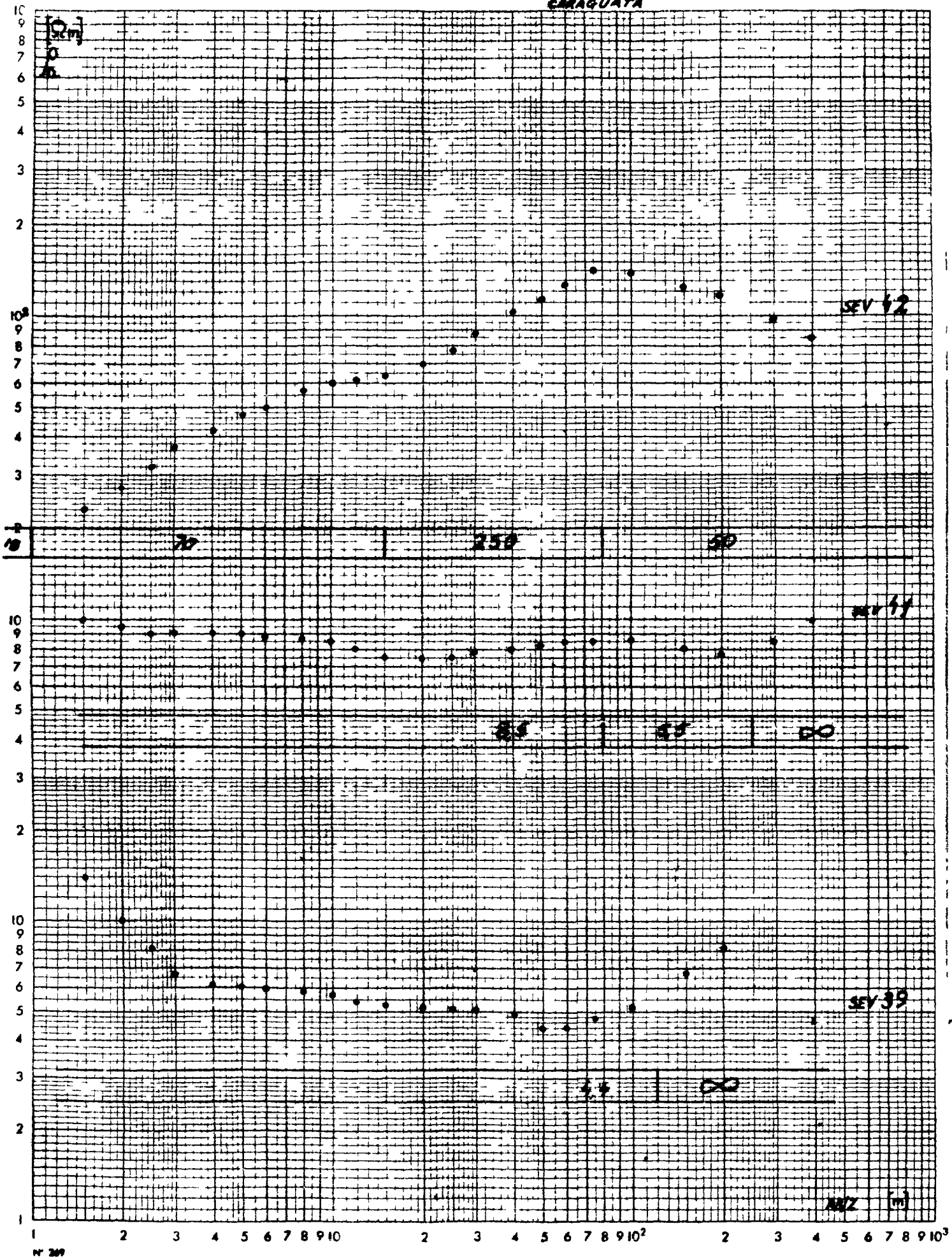


# CARAGUATA





# CARAGUATA



Three vertically stacked log-log plots showing data for 'SEV 45', 'SEV 46', and 'SEV 43'. Each plot has a y-axis from 1 to 10 and an x-axis from 1 to  $10^3$ . The plots show a decreasing trend with increasing x. The top plot is labeled 'SEV 45' and has a '30' label. The middle plot is labeled 'SEV 46' and has a '30' label. The bottom plot is labeled 'SEV 43' and has a '30' label. The x-axis is labeled '10/2 [m]' at the bottom right.